大気圧プラズママイクロリアクターによるダイヤモンドイド合成とその 反応機構

Synthesis and investigation of reaction mechanisms of diamondoids obtained by plasma microreactors at atmospheric pressure

東大新領域¹, 東大工² [○]石井 千佳子¹, 栗原 晃一², シュタウス スヴェン¹, 占部 継一郎¹, 寺嶋 和夫¹

Univ. Tokyo, °Chikako Ishii, Koichi Kuribara, Sven Stauss, Keiichiro Urabe, Kazuo Terashima E-mail: ishii@plasma.k.u-tokyo.ac.jp

はじめに: ダイヤモンドイド¹⁾とは、sp³混成炭素 で構成されたかご型構造を有し、表面の未結合手 を水素で終端させた炭化水素化合物であり、分子 内のかご型構造の数を次数という。ダイヤモンド イドの誘導体は医薬品として実用化されている ほか、光電子・ナノ工学分野での応用も期待され ているが、研究・応用が進んでいるのは大量合成 可能な低次の数種類に限られている。当研究室で は、超臨界流体 (SCF) 中で発生させたプラズマ を用いて、1次のダイヤモンドイドであるアダマ ンタンを原料として、高次ダイヤモンドイドの合 成を行ってきた 2 。近年、連続フロー式SCFプラ ズママイクロリアクターを開発し、2次のダイヤ モンドイドであるジアマンタンを 600 ppm という 高収率で合成することに成功したが³⁾、SCFプラ ズマを用いた実験は、混合ガスの使用などの実験 条件の最適化が困難なことが課題である。そこで、 本研究では、ダイヤモンドのプラズマ CVD⁴⁾で用 いられる水素やメタンの混合によるダイヤモン ドイド合成反応の促進を試みるため、大気圧下で 連続フロー式プラズママイクロリアクターを用 いたダイヤモンドイドの合成を行った。

<u>実験方法</u>: 実験装置の概要を Fig. 1 に示す。アダマンタン蒸気、アルゴン、水素 (10-40 vol%) およびメタン (0-1 vol%) を石英マイクロリアクターに導入し、ガス総流量の変化により滞留時間を $8-8\times10^2$ ms の範囲で変化させた。リアクターに 10 kHz、 $5.2-9.5 \text{ kV}_{PP}$ の正弦波交流電圧を印加してプラズマを発生させ (Fig. 2)、ダイヤモンドイド合成実験を行った。発光分光測定 (OES) によってプラズマを、ガスクロマトグラフ質量分析計 (GC-MS; GCMS-QP2010Plus; 島津製作所)で生成物をそれぞれ解析することにより、ガス組成や滞留時間が生成物に与える影響を調べた。

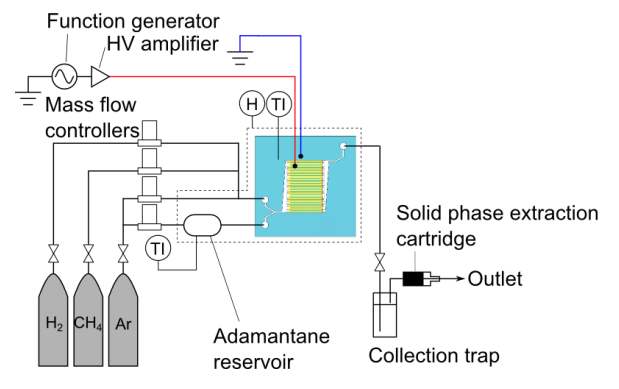


Fig. 1 Experimental setup of plasma microreactor system (TI: temperature indicator; H: heating circuit).

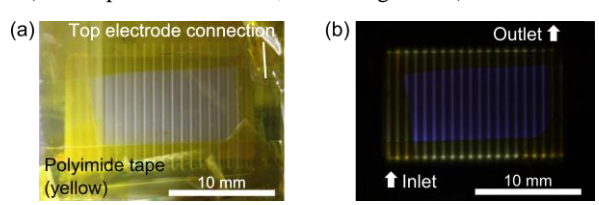


Fig. 2 Photos of plasma microreactor. (a) Before plasma generation. (b) During synthesis.

結果: GC-MS 解析により、アダマンタン誘導体とジアマンタンの合成が確認され、水素やメタンの混合および滞留時間の変化によって、それらの生成量が変化した。 OES の結果、CH の発光強度とジアマンタン生成量との関連は見られなかった。本講演では、CH や C_2 の発光強度、アダマンタン誘導体およびジアマンタン生成量について述べ、それらの比較を通して、アダマンタンからジアマンタンへの成長機構を考察する。

参考文献

1) G. A. Mansoori *et al.*: Diamondoid Molecules: With Applications in Biomedicine, Materials Science, Nanotechnology & Petroleum Science (World Scientific, Singapore, 2012). 2) T. Shizuno *et al.*: Jpn. J. Appl. Phys. **50** (2011) 030207. 3) F. Oshima *et al.*: Jpn. J. Appl. Phys. **53** (2014) 010214. 4) F. G. Celii and J. E. Butler: Annu. Rev. Phys. Chem. **42** (1991) 643.